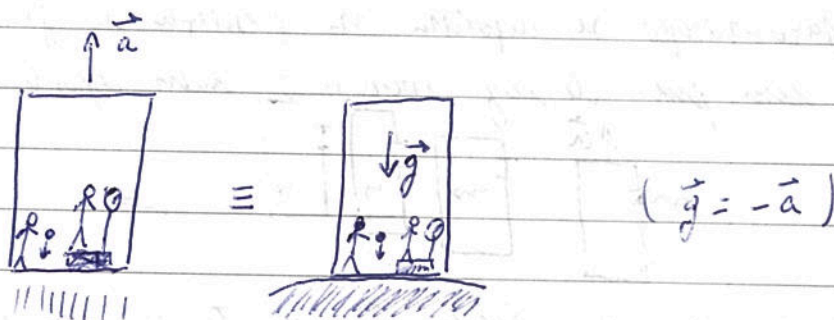


5) Relatividade Geral (RG)

→ Relatividade geral é a extensão da teoria da relatividade para sistemas de referência não-inerciais

Princípio da equivalência: um campo gravitacional homogêneo é completamente equivalente a um sistema de referência uniformemente acelerado.



massa inercial x massa gravitacional:

$$m_i \bullet \rightarrow \vec{F} \quad : \quad \vec{F} = m_i \vec{a}$$

$$m_g \bullet \downarrow \vec{g} \quad : \quad \vec{P} = m_g \vec{g} \quad , \quad \text{ neste caso } \vec{F} = \vec{P} \Rightarrow$$

$$m_i \vec{a} = m_g \vec{g}$$

$$\text{se } \vec{a} = \vec{g} : \boxed{m_i = m_g}$$

testes experimentais verificam este resultado em $1/10^{12}$.

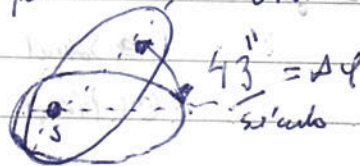
Einstein ampliou o princípio a todos os experimentos físicos.

É a extensão do primeiro postulado, o princípio da relatividade, para sistemas de referência não-inerciais.

⇒ aceleração é relativa

Previsões da RG: 1- avanço do periélio da órbita de Mercúrio

$$r = r_{\min} \frac{1 + E}{1 + E \cos(\varphi - \Delta\varphi)}$$



$$\hookrightarrow RG: \Delta\varphi = 6\pi GM / c^2 (1 - e^2) R$$

2 - curvatura dos raios de luz num campo gravitacional intenso

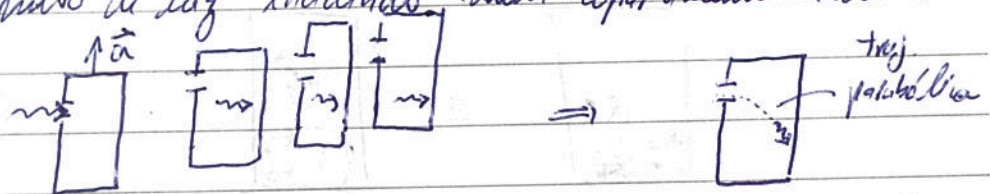


eclipse de 1919
Arthur Eddington

3 - Desaceleração de relógios (frequências): desvio-para-o-vermelho gravitacional

Deflexão da luz no campo gravitacional

O espaço-tempo se deforma na presença de grandes massas seja um pulso de luz incidindo num compartimento acelerado:



e se o sist. acelerado é equivalente a um campo gravitacional:



Seja o intervalo: $ds^2 = c^2 dt^2 - (dr^2 + r^2 d\theta^2)$ (2 dimensões: r, θ)

de acordo com a RG: $ds^2 = \gamma(r)^2 c^2 dt^2 - \frac{dr^2}{\gamma(r)^2} - r^2 d\theta^2$

dilatação temporal

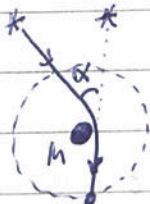
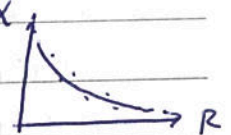
contração do espaço

onde $\gamma(r) = (1 - 2GM/c^2 r)^{1/2}$, com $G = 6,67 \cdot 10^{-11} \text{ N m}^2/\text{kg}^2$

⇒ há uma dilatação temporal gravitacional e uma contração do espaço gravitacional

integrando a equação acima ($ds=0$ para a luz):

deflexão $\alpha = \frac{4GM}{c^2 R}$

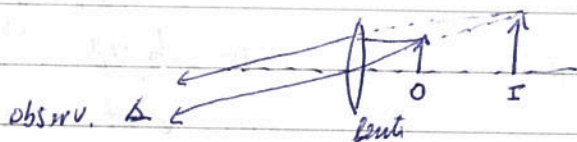


tomando $R = R_0 = 6,96 \cdot 10^8 \text{ m}$
 $M = M_0 = 1,99 \cdot 10^{30} \text{ kg}$ } $\Rightarrow \alpha = 1,75''$

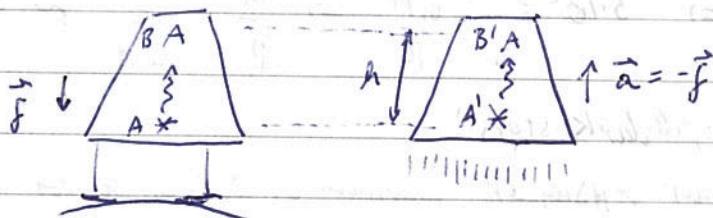
@ Sobral: $\alpha = 1,98 \pm 0,12 \text{ arc sec}$

@ I. Príncipe: $\alpha = 1,61 \pm 0,30 \text{ arc sec}$

lentes gravitacionais



Desvio para o vermelho gravitacional



pulso emitido de A' em $t=0$ com freq. f_0
 em $t = h/c$, B' tem veloc. $v = at = gh/c$
 e mede o desvio para o vermelho ($v \ll c$):

$$\frac{(f_0 - f)}{f_0} = \frac{\Delta f}{f_0} \approx \frac{\Delta f}{f} \approx \beta = \frac{v}{c} = \frac{gh}{c^2}$$

onde $\Delta\phi = gh = \Delta U/m$ (energ. pot. grav. por unid. de massa)

pelo princípio da equivalência B mede f também, portanto, o relógio A deve estar mais lento devido ao campo gravitacional \Rightarrow

desvio para o vermelho gravitacional



no caso geral: $\Delta\phi = \int_R^\infty \frac{GM}{r^2} dr = GM \left(\frac{-1}{r} \right) \Big|_R^\infty = \frac{GM}{R}$

$$\frac{\Delta f}{f_0} = \frac{f - f_0}{f_0} = \frac{GM}{c^2 R} \Rightarrow \left| \frac{f}{f_0} = 1 - \frac{GM}{c^2 R} \right|$$

desvio para o azul gravitacional: $\left| \frac{f}{f_0} = 1 + \frac{GM}{c^2 R} \right|$

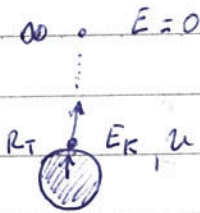
(1960, 1964, 1968) R.V. Pound; 14,4-keV γ emitidos pelo ^{57}Fe

$h = 22,5 \text{ m} \Rightarrow \frac{gh}{c^2} = 2,45 \cdot 10^{-15}$

(1784) John Michell: "dark stars"

Buracos Negros

velocidade de escape



$$G = 6,67 \cdot 10^{-11}$$

$$M_T = 5,98 \cdot 10^{24} \text{ kg}$$

$$R_T = 6,37 \cdot 10^6 \text{ m}$$

$$E = \frac{1}{2} m v_e^2 - G \frac{M m}{r} = 0 \Rightarrow v_e = \sqrt{2 G \frac{M_T}{R_T}} = 11,2 \cdot 10^3 \text{ m/s} = 11,2 \text{ km/s}$$

se fizermos $v_e = c \Rightarrow c = \sqrt{2 G \frac{M}{R}} \Rightarrow \frac{M}{R} = \frac{c^2}{2G} \approx 6,74 \cdot 10^{26}$

(1799) Pierre S. Laplace

(1939) J.R. Oppenheimer & H. Snyder previram os buracos negros com a

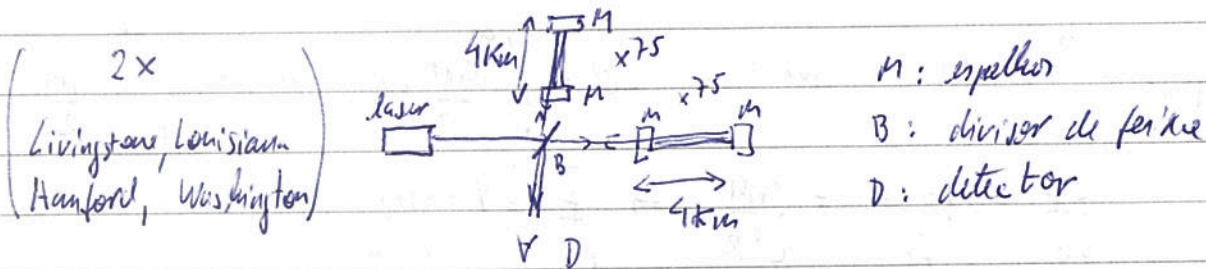
de $f = 1 - \frac{GM}{c^2 R} \rightarrow 0 \Rightarrow \frac{M}{R} = \frac{c^2}{2G} \Rightarrow R = \frac{GM}{c^2}$, para $v \ll c$

cálculo sem aproximações: raio Schwarzschild: $R = \frac{2MG}{c^2}$

para o Sol: $M_0 = 1,99 \cdot 10^{30} \text{ kg} \Rightarrow R_0 = 2,954 \cdot 10^3 \text{ m} \approx 3 \text{ km}$

Ondas gravitacionais: distorções do espaço-tempo podem gerar ondas que propagam-se

LIGO (Laser Interferometer gravitational-Wave Observatory)



2x
Livingston, Louisiana
Hanford, Washington

M: espelhos
B: divisor de feixe
D: detector

$L_{tot} \sim 400 \text{ km}$, $\Delta x \sim 10^{-18} \text{ m}$

1º evento: 14/9/2015: fusão de 2 buracos negros a 440 Mpc

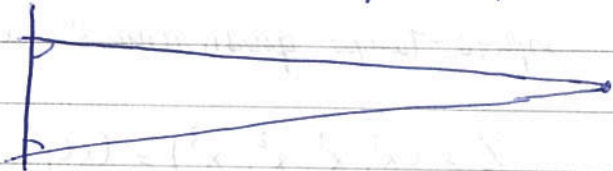
2º evento: 26/12/2015

3º evento: 4/1/2016

Geometria da Relatividade Geral

(~300 a.c.) Euclides escreve "Os Elementos", onde descreve a geometria euclidiana (ou geometria plana):

5º postulado: Se uma reta corta outras duas fazendo os ângulos interiores do mesmo lado menor que dois ângulos retos, estas duas retas se interceptarão do mesmo lado definido pelos ângulos



... (1840) N.I. Lobachevsky explica como funciona a geometria hiperbólica

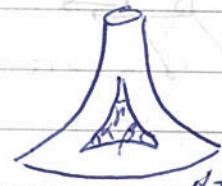
(1854) G.F.B. Riemann deu uma aula discutindo a geometria elíptica (esférica, em particular)



$\alpha + \beta + \gamma = \pi$
(geometria plana)



$\alpha + \beta + \gamma > \pi$
(geometria elíptica)

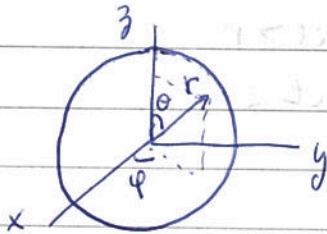


$\alpha + \beta + \gamma < \pi$
(geometria hiperbólica)

↑ geometrias não-euclidianas ↓

Riemann estudou as propriedades do espaço através do intervalo:

em 3D: $ds^2 = dx^2 + dy^2 + dz^2$



$$\begin{cases} x = r \cos \theta \cos \phi \\ y = r \sin \theta \cos \phi \\ z = r \sin \theta \end{cases}$$

derivando: $\begin{cases} dx = \cos \theta \cos \phi dr - r \sin \theta \cos \phi d\theta - r \cos \theta \sin \phi d\phi \\ dy = \sin \theta \cos \phi dr + r \cos \theta \cos \phi d\theta + r \sin \theta \sin \phi d\phi \\ dz = \sin \theta dr - r \cos \theta d\theta \end{cases} \Rightarrow$

$$\Rightarrow ds^2 = dr^2 + r^2 d\theta^2 + r^2 \sin^2 \theta d\phi^2$$

$$ds^2 = dx^2 + dy^2 + dz^2 = dr^2 + r^2 d\theta^2 + r^2 \sin^2 \theta d\phi^2 \equiv \bar{\gamma}_{ij} g_{ij} dx^i dx^j; i, j = 1, 2, 3$$

onde: $[g_{ij}] = \begin{bmatrix} 1 & 0 & 0 \\ 0 & 1 & 0 \\ 0 & 0 & 1 \end{bmatrix}$ cartesianas $= \begin{bmatrix} 1 & 0 & 0 \\ 0 & r^2 & 0 \\ 0 & 0 & r^2 \sin^2 \theta \end{bmatrix}$ esféricas

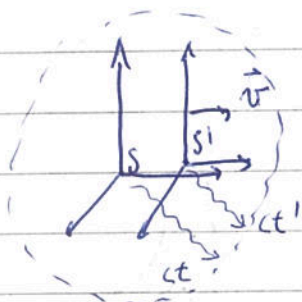
é a métrica do espaço.

(1907) H. Minkowski descreve a teoria da relatividade usando o espaço-tempo quadri-dimensional:

$$X = (x^0, x^1, x^2, x^3) = (ct, x, y, z) = (ct, \vec{r}), \text{ tal que:}$$

$$X^2 = X \cdot X = (x^0)^2 - (x^1)^2 - (x^2)^2 - (x^3)^2 =$$

$$= c^2 t^2 - x^2 - y^2 - z^2 = c^2 t^2 - r^2$$



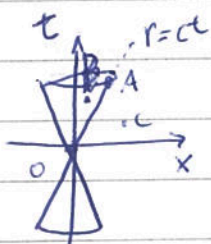
em S : $x^2 + y^2 + z^2 = r^2 = c^2 t^2 \Rightarrow c^2 t^2 - r^2 = 0$
 em S' : $x'^2 + y'^2 + z'^2 = r'^2 = c^2 t'^2 \Rightarrow c^2 t'^2 - r'^2 = 0$

em 4D: $ds^2 = c^2 dt^2 - dx^2 - dy^2 - dz^2$
 é invariante: $ds^2 = ds'^2 = 0$

assim a métrica é:

$$[g_{ij}] = \begin{bmatrix} 1 & 0 & 0 & 0 \\ 0 & -1 & 0 & 0 \\ 0 & 0 & -1 & 0 \\ 0 & 0 & 0 & -1 \end{bmatrix} \text{ Minkowsky}$$

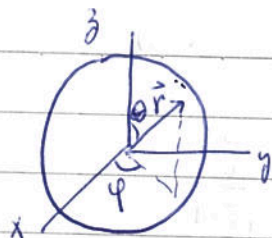
Intervalo:



- A) tipo luz: $s^2 = 0 \Rightarrow ct = r$
- B) tipo tempo: $s^2 > 0 \Rightarrow ct > r$
- C) tipo espaço: $s^2 < 0 \Rightarrow ct < r$

ademais: $ds^2 = ds'^2 \Rightarrow \begin{cases} x' = \gamma(x - vt) \\ y' = y \\ z' = z \\ t' = \gamma(t - vx/c^2) \end{cases}$ transf. de Lorentz

afora



$$\vec{r} = r \sin\theta \cos\phi \hat{x} + r \sin\theta \sin\phi \hat{y} + r \cos\theta \hat{z}$$

os vetores esféricos podem ser encontrados por:

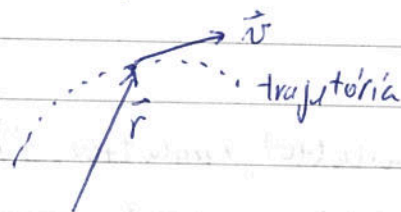
$$\hat{r} = \frac{\partial \vec{r} / \partial r}{|\partial \vec{r} / \partial r|} = \sin\theta \cos\phi \hat{x} + \sin\theta \sin\phi \hat{y} + \cos\theta \hat{z}$$

$$\hat{\theta} = \frac{\partial \vec{r} / \partial \theta}{|\partial \vec{r} / \partial \theta|} = \cos\theta \cos\phi \hat{x} + \cos\theta \sin\phi \hat{y} - \sin\theta \hat{z}$$

$$\hat{\phi} = \frac{\partial \vec{r} / \partial \phi}{|\partial \vec{r} / \partial \phi|} = -\sin\phi \hat{x} + \cos\phi \hat{y}$$

de um modo geral: $\hat{e}_i = \frac{\hat{E}_i}{h_i}$, $\hat{E}_i \equiv \frac{\partial \vec{r}}{\partial x^i}$, $h_i = \left| \frac{\partial \vec{r}}{\partial x^i} \right|$

no espaço euclidiano a menor distância entre 2 pontos é uma reta
no espaço riemanniano a menor distância entre 2 pontos é uma geodésica



$$\vec{v} = v^i \hat{e}_i$$

$$\vec{a} = \frac{d\vec{v}}{dt} = \frac{dv^i}{dt} \hat{e}_i + v^i \frac{d\hat{e}_i}{dt}$$

$$\text{onde } \frac{d\hat{e}_i}{dt} = \frac{d\hat{e}_i}{dx^j} \frac{dx^j}{dt} \equiv \Gamma_{ij}^k \hat{e}_k \frac{dx^j}{dt}$$

↳ comb. linear de \hat{e}_i → símbolos de Christoffel

$$\text{então: } \vec{a} = \frac{dv^k}{dt} \hat{e}_k + v^i \Gamma_{ij}^k \hat{e}_k \frac{dx^j}{dt} = \left(\frac{dv^k}{dt} + \Gamma_{ij}^k v^i \frac{dx^j}{dt} \right) \hat{e}_k =$$

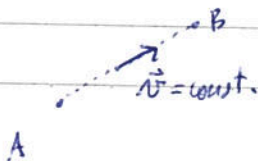
$$= \left(\frac{d^2 x^k}{dt^2} + \Gamma_{ij}^k \frac{dx^i}{dt} \frac{dx^j}{dt} \right) \hat{e}_k$$

para conectar 2 pontos:

$$\vec{a} = 0 \Rightarrow$$

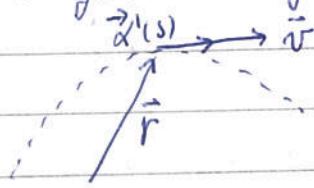
$$\boxed{\frac{d^2 x^k}{dt^2} + \Gamma_{ij}^k \frac{dx^i}{dt} \frac{dx^j}{dt} = 0}$$

equação da geodésica



A

parametrizando a trajetória com uma função $\vec{\alpha}(s)$



$$\vec{\alpha}'(s) = \frac{d\vec{\alpha}}{ds} = \frac{\vec{v}}{|\vec{v}|}$$

a curvatura da trajetória é definida pela norma da segunda derivada:

$$k \equiv \|\vec{\alpha}''(s)\|$$

curvatura zero:

pequena curvatura:

grande curvatura:

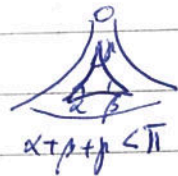
mas



tem $k=0$

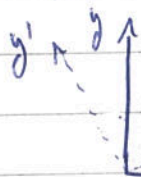


tem $k > 0$



tem $k < 0$

Einstein supôs que para sistemas acelerados as transformações de Lorentz valem num $dt \rightarrow 0$ e aplicou a equivalência em dois sistemas com rotação relativa constante:



$$X' = (ct', r \cos(\omega t + \theta), r \sin(\omega t + \theta), z')$$

$r \cos \alpha \quad r \sin \alpha$

$$dx' = \cos(\omega t + \theta) dr - r \sin(\omega t + \theta) d\theta - r \omega \sin(\omega t + \theta) dt$$

$$dy' = \sin(\omega t + \theta) dr + r \cos(\omega t + \theta) d\theta + r \omega \cos(\omega t + \theta) dt$$

$$\Rightarrow ds^2 = c^2 dt'^2 - dx'^2 - dy'^2 - dz'^2 =$$

$$= c^2 dt^2 - \omega^2 r^2 dr^2 - r^2 \sin^2 \alpha d\theta^2 - r^2 \omega^2 \sin^2 \alpha dt^2 +$$

$$+ 2r \cos \alpha \sin \alpha dr d\theta + 2r \omega \sin \alpha \cos \alpha dr dt - 2r^2 \omega \sin^2 \alpha d\theta dt +$$

$$- \sin^2 \alpha dr^2 - r^2 \omega^2 d\theta^2 - r^2 \omega^2 \cos^2 \alpha dt^2 +$$

$$- 2r \sin \alpha \cos \alpha dr d\theta - 2r \omega \sin \alpha \cos \alpha dr dt - 2r^2 \omega \cos^2 \alpha d\theta dt - dz^2 =$$

$$= c^2 dt^2 - dr^2 - r^2 d\theta^2 - r^2 \omega^2 dt^2 - 2r^2 \omega d\theta dt - dz^2 \Rightarrow$$

$$ds^2 = \left(1 - \frac{r^2 \omega^2}{c^2}\right) c^2 dt^2 - dr^2 - r^2 d\theta^2 - dz^2 - \frac{2r^2 \omega}{c} d\theta c dt$$

a métrica fica, portanto, distorcida:

$$[g_{ij}] = \begin{bmatrix} 1 - (wr/c)^2 & 0 & -wr^2/c & 0 \\ 0 & -1 & 0 & 0 \\ -wr^2/c & 0 & -r^2 & 0 \\ 0 & 0 & 0 & -1 \end{bmatrix} \text{ Einstein}$$

A equação de campo de Einstein:

$$E_{ik} = \frac{8\pi G}{c^4} T_{ik}$$

↳ tensor energia-momento

↳ curvatura (eq. dif. de 2ª ordem em g_{ik})

$$E_{ik} = R_{ik} - \frac{g_{ik}R}{2} + \Lambda g_{ik}$$

↳ constante cosmológica

↳ escalar de Ricci

↳ tensor de curvatura

$$\therefore \boxed{R_{ik} - \frac{g_{ik}R}{2} + \Lambda g_{ik} = \frac{8\pi G}{c^4} T_{ik}}$$

The first part of the document discusses the importance of maintaining accurate records. It highlights the need for consistency and thoroughness in data collection. The second section focuses on the analysis of the collected data, emphasizing the use of statistical methods to identify trends and patterns. The final part of the document provides a summary of the findings and offers recommendations for future research.

The data collected over the course of the study shows a clear upward trend in the number of participants. This increase is likely due to the growing awareness of the benefits of the program. The analysis of the data indicates that the program has a positive impact on the overall well-being of the participants. The findings suggest that the program should be expanded to reach a larger number of people.

In conclusion, the study has shown that the program is effective in improving the lives of the participants. The data supports the idea that the program should be continued and expanded. The findings provide valuable insights into the effectiveness of the program and offer a clear path forward for future research.